

طراحی الگوی انفجار با استفاده از بسامد غالب و بیشینه مجاز سرعت ذرات

حسن بخشندۀ امنیه^{*} و علی سیامکی^۱

^۱گروه مهندسی معدن، دانشگاه کاشان، ایران

(تاریخ دریافت: ۱۳۹۰/۲/۳۱، تاریخ پذیرش: ۱۳۹۰/۱۲/۱۶)

چکیده

همۀ انرژی حاصل از انفجار صرف خرد شدن توده سنگ نمی‌شود و بخش زیادی از آن صرف ایجاد لرزش زمین، انفجار هوا، پرتاب سنگ و مانند آن می‌شود. لرزش زمین حاصل از انفجار، همواره تهدیدی جدی برای سازه‌ها و منازل مسکونی اطراف محل انفجار بهشمار می‌رود. از پارامترهای مهم در ارزیابی میزان لرزش زمین و خسارات واردۀ حاصل از انفجار، حداکثر سرعت ذرات و بسامد است. روابط عرضه شده برای طراحی الگوی انفجار براساس ویژگی‌های توده سنگ یا ماده منفجره است و در آنها تأثیر موج انفجار نادیده گرفته می‌شود. در این مقاله با استفاده از شبکه عصبی مصنوعی داده‌های ثبت شده در معدن مس سرچشمه مورد آموزش قرار گرفت. در این شبکه پارامترهای فاصله از محل انفجار، حداکثر سرعت ذرات، بسامد غالب، چگالی ماده منفجره و حجم بلوك استخراجی در حکم ورودی و پارامترهای الگوی انفجار (فاصله ردیفی چال‌ها، فاصله چال‌ها در یک ردیف و وزن کل خرج مصرفی) خروجی شبکه هستند. شبکه با استفاده از الگوریتم پس انتشار خط‌آ و با آرایش $16 \times 14 \times 12 \times 10^3$ آموزش داده شده است. به‌منظور کسب اطمینان از آموزش، شبکه براساس داده‌های کنترل، مورد آزمایش قرار گرفت و دستیابی به ضریب همبستگی 0.82 و 0.71 به ترتیب برای وزن کل خرج، فاصله ردیفی چال‌ها و فاصله چال‌ها در یک ردیف ممکن شد.

واژه‌های کلیدی: حداکثر سرعت ذرات، بسامد غالب، الگوی انفجار، شبکه عصبی مصنوعی

Blasting pattern design using dominant frequency and permissible peak particle velocity

Hassan Bakhshandeh Amnigh^{*} and Ali Siamaki¹

¹Dept. of Mining Eng., University of Kashan, Iran

(Received: 21 May 2011, accepted: 6 March 2012)

Summary

The energy released from an explosion propagates through the surrounding rock-mass in wave forms, causing structural vibrations in the vicinity of the explosion blocks. The waves are spread as body as well as surface waves. Resonance occurs when the frequency of the explosion wave is the same as the associated structures, leading to increase the damage to them. Hence, in designing the explosion patterns, the allowable peak particle velocity of these structures should be considered. Several correlations (Pears, 1955;

*Corresponding author:

bakhshandeh@kashanu.ac.ir

^{*}نگارنده رابط:

Allsman, 1960; Speath, 1960) presented in the literature, express the parameters involved in evaluating the explosion effects including the explosive characteristics and the rock-mass strength. Ash (1968), proposed a simple relation based on the diameter of blast-hole to determine the burden required and Livingston (1956) suggested a relation on the basis of “crater theory” to determine the spacing. However, the influence of blast-wave has not been considered in the conventional explosion design patterns. In this study, a neural network was trained in order to design a explosion pattern based on the maximum allowable vibration. This network tried to design a blasting pattern by special attention to the allowable peak particle velocity and the natural frequencies of the buildings adjacent to blasting area. For this purpose, the ground vibration data from 11 blasts were recorded by PDAS-100 digital seismographs and 3-C L-4C seismometers. Seismographs were installed in three vertical, tangential and radial directions. 47 of the recorded vibrations were employed in a neural network training which used a back propagation algorithm for training. The network consisted of four hidden layers and one output layer composed of three neurons. The training algorithm of each hidden layer was a Levenberg- Marquardt designed to approach a second-order training speed without having to compute the Hessian matrix; Tan-sigmoid transfer function was employed for the hidden layers and a linear transfer function pureline was used for the output layer. For adequate network training process, a series of appropriate response should be ensued. During the training, in order to minimize the performance, the network weights and biases were corrected. In this study the network performance was evaluated using a mean-square error when compared to the output and the real data. The input parameters included the peak particle velocity, frequency, volume of the extraction block and the explosive density, while the outputs included the burden, spacing and the total charge weight. The other parameters of the blasting pattern such as stemming, sub-drilling were calculated by empirical equations and the blasting delay was determine by the blasting designer. The network was trained successfully at the 8920th epoch with a mean square error of 6.19×10^{-16} . To ensure correct training, the network was tested using the test data and was able to achieve the total charge weight, burden and spacing with coefficient correlations of 0.65, 0.77 and 0.96, respectively.

Key words: Peak particle velocity, dominant frequency, blasting pattern, artificial neural network

امواج لرزه‌ای به هنگام انتشار درون زمین بر اثر تبدیل
بعخشی از انرژی کشسان آن به گرمای میرا و موجب القای
لرزش در سازه‌ها می‌شود. در صورتی که بسامد ارتعاش با
بسامد طبیعی سازه برابر باشد، باعث ایجاد پدیده تشدید
می‌شود و در نتیجه، دامنه لرزش افزایش می‌یابد. از جمله
پارامترهای کاربردی در ارزیابی میزان ارتعاش زمین و
پیش‌بینی خسارت حاصل از آن حداکثر سرعت ذرات و
بسامد است (خاندلول و سینگ، ۲۰۰۹؛ روشنل کاهو و
سیاه کوهی، ۱۳۸۸).

۱ مقدمه

لرزش زمین حاصل از انفجار همواره یکی از نتایج
نامطلوب و مشکلات مهم در عملیات معدن‌کاری و
طرح‌های عمرانی است. لرزش ایجاد شده علاوه بر ایجاد
نارضایتی در بین ساکنان نزدیک به محل انفجار، می‌تواند
باعث آسیب‌هایی به سازه‌های اطراف محل انفجار شود.
میزان خسارت وارد شده به میزان لرزش زمین، بسامد و
فاکتورهای سازه و محیط بستگی دارد (سینگ و روی،
۲۰۱۰).

۲ موقعیت جغرافیایی و زمین‌شناسی معدن مس سرچشمہ

معدن مس سرچشمہ در ۱۶۰ کیلومتری جنوب غربی کرمان و ۵۰ کیلومتری جنوب رفسنجان و در ناحیه مرکزی رشته‌کوه زاگرس قرار گرفته است. شکل ۱ نشان‌دهنده محل معدن مس سرچشمہ کرمان است. معدن صنعتی معدنی جهان محسوب می‌شود و بزرگ‌ترین صنعتی معدنی جهان محسوب می‌شود و بزرگ‌ترین تولیدکننده مس ایران است. ذخیره زمین‌شناسی معدن بالغ بر یک میلیارد و دویست میلیون تن سنگ سولفوری با عیار متوسط ۰/۷٪ برآورد شده است. معدن مس سرچشمہ از دیدگاه زمین‌شناسی روی کمربند جهانی مس قرار دارد و پنهان گسترش آن از جنوب شرقی تا شمال غربی به صورت یک محدوده بیضی‌شکل با ابعاد ۱۲۰۰×۲۳۰۰ متر و ژرفای ۱۶۱۲ متر است. ساختار معدنی در این منطقه به صورت پورفیری و نوع سنگ منطقه از نوع گرانودیوریت و زمان تشكیل آن حدود ۲۵ میلیون سال پیش است. بخش‌های تولیدی مجتمع مس سرچشمہ عبارت از معدن، تغلیظ، ذوب، پالایشگاه و ریخته‌گری‌ها و لیچینگ است. جدول ۱ نشان‌دهنده ویژگی‌های ژئومکانیکی معدن مس سرچشمہ است.

استخراج در معدن مس سرچشمہ بدین شرح است که پس از عملیات انفجار، سنگ معدن براساس نوع و مشخصات مربوط، با کامیون به محل مناسب انتقال می‌یابد و از آنجا با توجه به برنامه تولید معدن بارگیری و به سنگ‌شکن اولیه (از نوع ژیراتوری) منتقل می‌شود. پس از خردایش، مواد معدنی با دانه بندی ۱۰٪ زیر ۸ اینچ در انبار درشت با ظرفیت ۱۵۰ هزار تن ذخیره می‌شود. در حال حاضر و پس از انجام فاز اول توسعه معدن، میزان سنگ سولفوری قابل انتقال به سنگ‌شکن اولیه به سقف ۶۰ هزار تن در روز با عیار متوسط ۹٪ رسیده است که

عواملی که بر نتایج یک انفجار تاثیر می‌گذارند بر فرایند لرزش زمین در یک منطقه نیز تاثیر می‌گذارند. این عوامل به دو گروه تقسیم می‌شوند. گروه اول را فاکتورهای طراحی همچون فاصله ردیفی چال‌ها، فاصله چال‌ها در یک ردیف، اضافه حفاری، انسداد، زمان تاخیر، وزن ماده منفجره مصرفی بهزای هر تاخیر و جهت انفجار تشکیل می‌دهند. گروه دوم نیز فاکتورهای منطقه همچون خصوصیات زمین‌شناسی و موقعیت سازه از محل انفجار است (جواهریان و بخشند، ۱۳۸۱). لازم به ذکر است که با مدل‌سازی انتشار موج در محیط‌های پیچیده می‌توان از نحوه رفتار جبهه موج در مواجهه با ساختارهای پیچیده آگاهی یافت (امینی و جواهریان، ۱۳۸۹).

در روابط داده شده برای طراحی پارامترهای الگوی انفجار، فقط به پارامترهای ژئومکانیکی سنگ، نوع ماده منفجره و قطر چال توجه شده و پارامترهایی از جمله میزان لرزش حاصل از انفجار در نظر گرفته نشده است. از این‌رو، طراحی الگوهای انفجار با توجه به پارامتر حداکثر لرزش حاصل از انفجار از اهمیت زیادی برخوردار است. در این تحقیق با بهره‌گیری از شبکه عصبی مصنوعی و با استفاده از لرزش‌های ثبت شده در معدن مس سرچشمہ شبکه‌ای آموزش داده شد که قابلیت عرضه پارامترهای الگوی انفجار را با توجه به سازه‌های اطراف ناحیه انفجار و حدود معجاز لرزش دارد.

جدول ۱. ویژگی‌های ژئومکانیکی کائنسنگ معدن مس سرچشمہ کرمان.

ردیف	واحد	پارامتر	مقدار
۱	kN/m^3	وزن مخصوص	۱۹/۶
۲	درجه	زاویه اصطکاک	۳۰
۳	---	نسبت پواسون	۰/۳
۴	kN/m^3	مدول یانگ	۳۹۲۲۴۰

شده‌اند. مقدار وزن ماده منفجره به‌ازای هر تا خیر بین ۶۹۶ و ۷۱۰۰ کیلوگرم متغیر است. در شکل ۲ منحنی‌های هم‌تراز سرعت ذرات نشان داده شده است. این انفجار در توده‌سنگ‌های آنژیتی و عملیات برداشت داده‌ها در توده‌سنگ‌های آنژیت و دایک صورت گرفته است. با توجه به بررسی اثر حداکثر سرعت ذرات بر طراحی الگوی انفجار، حداکثر سرعت ذرات با رابطه (۱) تحلیل شده‌اند (نجم و همکاران، ۲۰۰۲؛ بخشندۀ امنیه، ۱۳۷۸):

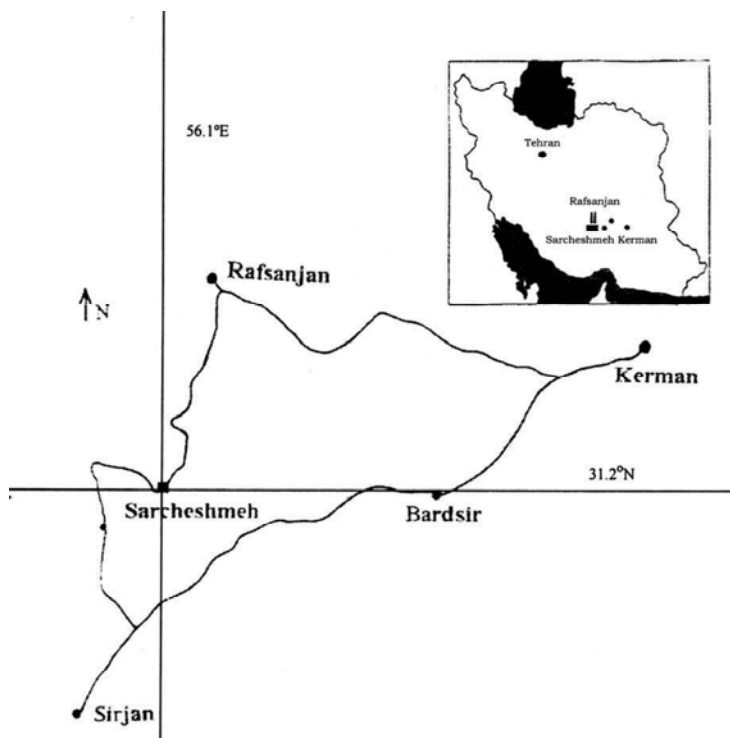
$$PPV = \sqrt{(PPV_v)^2 + (PPV_r)^2 + (PPV_t)^2}, \quad (1)$$

که PPV_v ، PPV_r و PPV_t به ترتیب مولفه عمودی، شعاعی و مماسی حداکثر سرعت ذرات است. نمودار حداکثر سرعت ذرات-بسامد داده‌های ثبت شده با تفکیک ماده منفجره مصروفی در شکل ۳ نشان داده شده است.

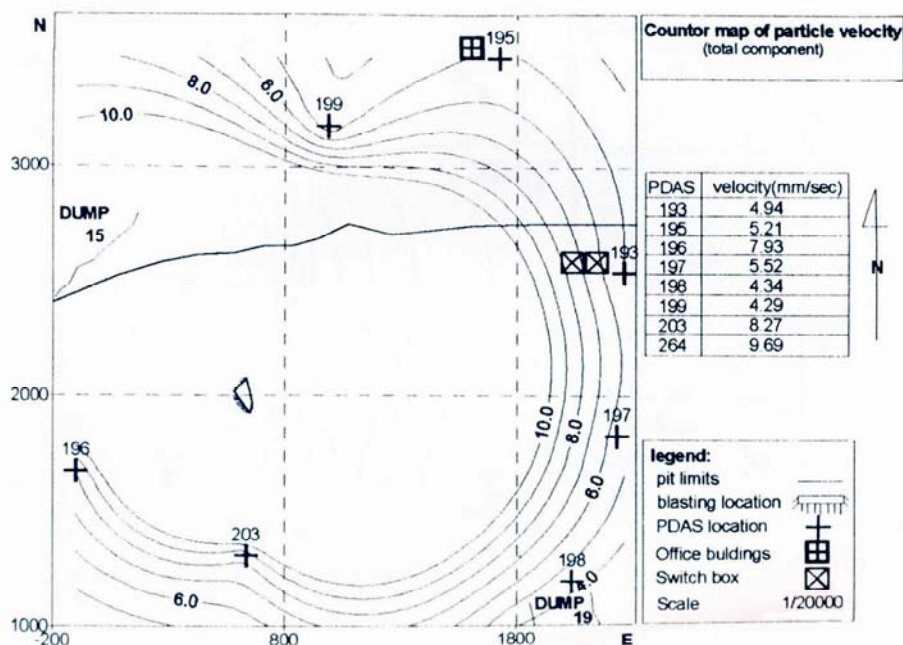
با اجرای فاز دوم توسعه، این میزان به حدود ۸۰ هزار تن در روز با عیار ۸/۵۰٪ خواهد رسید.

۳ روش تحقیق

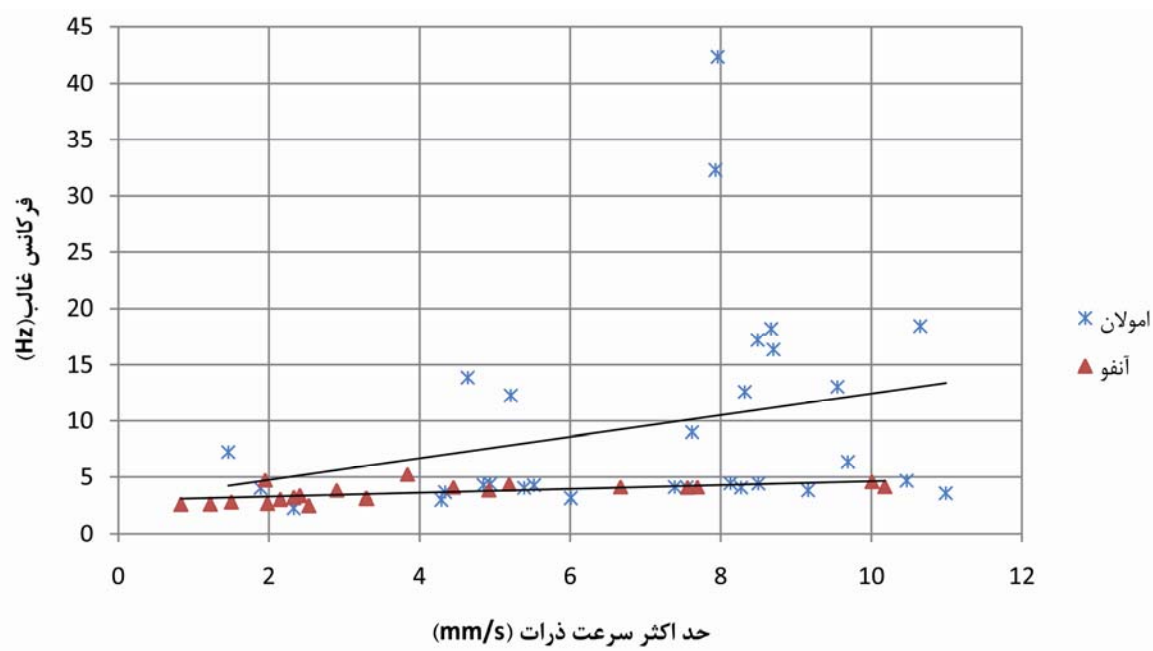
آموزش شبکه عصبی مصنوعی برای طراحی الگوی انفجار، نیازمند ثبت لرزش زمین و بسامد متناظر با آن است. بدین‌منظور داده‌های لرزش زمین حاصل از ۱۱ مرحله انفجار با استفاده از لرزه‌نگارهای سه مولفه‌ای PDAS-100 و لرزه‌سنج‌های 3-C و L-4C ثبت شد. لرزه‌سنج‌ها در سه جهت شعاعی، مماسی و عمودی نصب شدند. نوع ماده منفجره آنفو و امولان و کمترین و بیشترین مقدار ماده منفجره ۱۲۹۰ کیلوگرم و ۲۶۰۰ کیلوگرم است. کمترین و بیشترین تعداد چال در هر عملیات انفجار ۱۹ و ۷۳ عدد است. دورترین و نزدیک‌ترین لرزه‌نگار به ترتیب در فاصله ۴۱۰ و ۳۸۲۵ متری از محل انفجار واقع



شکل ۱. موقعیت جغرافیایی معدن مس سرچشم کرمان.



شکل ۲. منحنی های هم تراز برآیند حداکثر سرعت ذرات حاصل از انفجار شماره ۱۸۷، ۱۸۲، ۱۸۱ معدن مس سرچشمه کرمان.



شکل ۳. نمودار حداکثر سرعت ذرات-بسامد داده های ثبت شده در معدن مس سرچشمه کرمان.

پنهان تشکیل شده باشد و هر الگوی ارتباطی پیش خور مناسب را به دست دهد. وزن هر ارتباط دهنده عددی است که به صورت تصادفی انتخاب شده است. هنگامی که ورودی x_i از سری آموزشی به شبکه اعمال می شود، شبکه خروجی O_i تولید می کند که با مقدار هدف t_i متفاوت است. O_i و t_i نیاز به برابر شدن برای $P_{i=1,2,\dots}$ با یک الگوریتم آموزش دارند. برای مثال،تابع خطا شبکه که به صورت رابطه (۲) تعریف شده است باید کمینه شود (بخشنده و همکاران، ۲۰۱۰):

$$E = \frac{1}{2} \sum_{i=1}^P \|O_i - t_i\|^2, \quad (2)$$

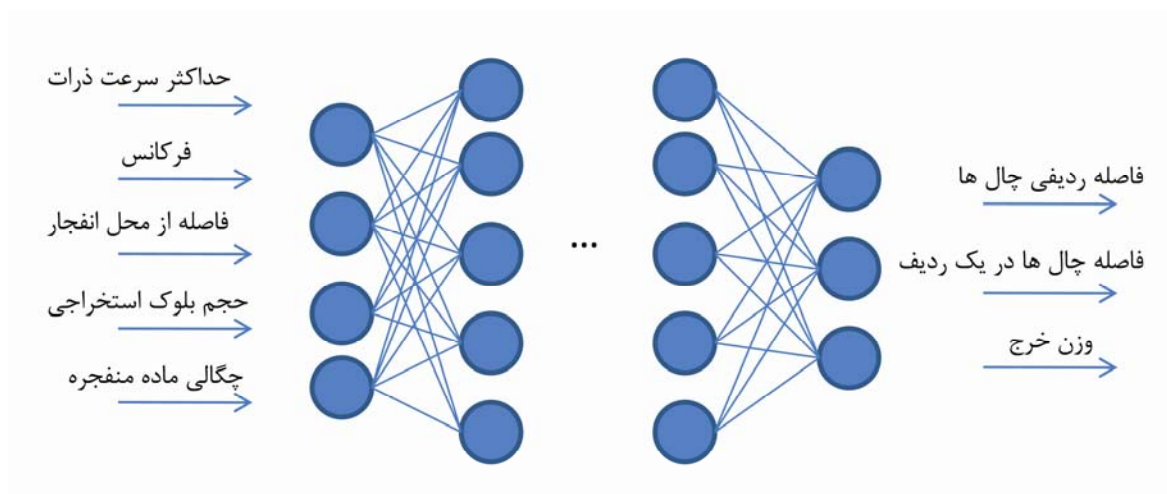
که E خطای شبکه، O_i خروجی شبکه، t_i مقدار هدف یا خروجی واقعی و P تعداد سری ورودی شبکه است. پس از کمینه کردن این تابع برای داده های آموزشی، داده های جدید به منظور بررسی به شبکه عرضه می شود. شبکه ورودی های جدید را مانند الگوی آموزش داده شده بررسی و خروجی آن را تولید می کند (بخشنده و همکاران، ۲۰۱۰).

۴ شبکه عصبی مصنوعی

در دهه ۱۹۴۰ با روشن شدن قابلیت محاسبه هر تابع منطقی و حسابی از سوی مک کلاش و پیتر، نگاهی تازه به شبکه های عصبی مصنوعی مطرح شد. اولین کاربرد عملی شبکه عصبی مصنوعی در اوخر دهه ۱۹۵۰ با اختراع شبکه های پرسپترون از سوی روزنبلت عملی شد. روزنبلت و همکاران شبکه ای پرسپترون ساختند و قابلیت آن را در تشخیص دادن الگو اثبات کردند (محمد، ۲۰۰۹).

شبکه پیش از تفسیر اطلاعات جدید نیاز به آموزش دارد. الگوریتم های متعددی برای آموزش شبکه عصبی وجود دارد. در این میان الگوریتم پس انتشار شیوه تطبیق پذیر و توانمندی است که قابلیت آموزش مناسب برای شبکه های چند لایه را فراهم می کند. از طرفی قابلیت این الگوریتم در حل مسائل برآورد، بر محبویت آن افزوده است (خاندلول و سینگ، ۲۰۰۷).

شبکه پیش خور با n واحد ورودی و m خروجی با فرض سری آموزشی $\{(x_1, t_1), \dots, (x_p, t_p)\}$ متشکل از P جفت بردار $m \times n$ بعدی، به متزله الگوی ورودی و خروجی موجود است. این شبکه ممکن است از چند لایه



شکل ۴. نمایی از شبکه عصبی آموزش داده شده الگوی انفجار معدن مس سرچشمه کرمان.

۱-۴ آموزش شبکه

ایجاد شده و الگوی انفجار، باعث کاهش هزینه‌های جانبی انفجار و افزایش کیفیت آن می‌شود. به منظور آموزش شبکه طراحی الگوی انفجار از ۴۱ سری داده ثبت شده از انفجارهای معدن سرچشمه در حکم ورودی استفاده شده است.

پارامترهای ورودی شبکه شامل حداقل سرعت

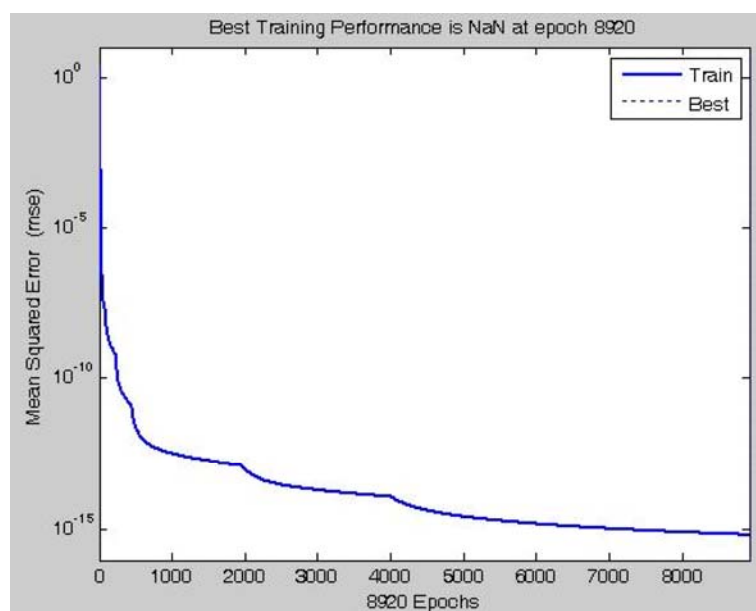
هدف از آموزش شبکه عصبی مصنوعی دست یافتن به الگویی برای تعیین پارامترهای طراحی الگوی انفجار با توجه به سازه‌های اطراف محل انفجار است. طراحی الگوی انفجار با توجه به حداکثر سرعت ذرات و بسامد ارتعاش مناسب سازه به کاهش خسارات و نارضایتی‌ها کمک می‌کند. همچنین درک دقیق‌تر از ارتباط ارتعاش

جدول ۲. محدوده تغییرات پارامترهای آموزش شبکه طراحی الگوی انفجار معدن مس سرچشمه کرمان.

ردیف	واحد	پارامترهای آموزش	محدوده تغییرات
۱	mm/s	حداکثر سرعت ذرات	۰/۸۳ - ۱۰/۹۹
۲	m	فاصله از محل انفجار	۷۴۰ - ۳۸۲۵
۳	m ³	حجم بلوك انفجاری	۲۹۷۶۰ - ۱۰۲۰۰۰
۴	kg/m ³	چگالی ماده منفجره	۰/۸ - ۱/۵
۵	m	فاصله ردیفی چال‌ها	۷/۵ - ۷
۶	m	فاصله چال‌ها در هر ردیف	۷/۵ - ۹/۵
۷	ton	وزن خرج	۷/۱۴ - ۲۷/۱۴
۸	Hz	بسامد	۲/۲۸ - ۴۲/۴

جدول ۳. خطای نسبی پاسخ شبکه برای داده‌های آزمایشی در معدن مس سرچشمه کرمان.

ردیف	فاصله چال‌ها در هر ردیف (%)	فاصله ردیفی چال‌ها (%)	وزن کل خرج (%)
۱	۰	۰	0/008666667
۲	۰	۰	0/016666667
۳	۰	۰	-0/006666667
۴	-5/92556	-7/02286	0
۵	۰	۰	-16/40665647
۶	0/024	0/081053	0/003125
۷	0/078667	0/254737	0/011538462
۸	-0/00571	-0/00556	-0/25
	خطای نسبی میانگین	-0/76954	-1/84703626

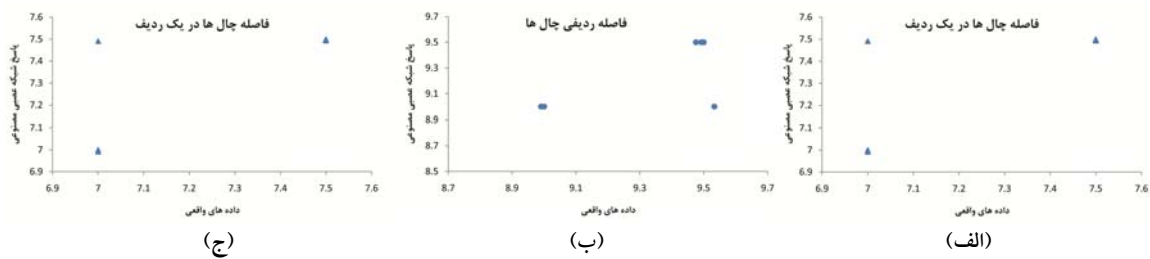


شکل ۵. خطای شبکه در حین آموزش شبکه طراحی الگوی انفجار معدن مس سرچشمه کرمان.

یکی از پارامترهای کنترل آموزش، خطای شبکه یا به عبارتی اختلاف بین خروجی شبکه و مقدار واقعی است. در این شبکه ازتابع عملکرد میانگین مربعات خطابه منظور کنترل خطای شبکه استفاده شد. درنهایت شبکه توانست در دوره 8920×10^{19} به خطای 6×10^{-16} دست یابد. در شکل ۵ تغییرات خطای شبکه در حین آموزش نشان داده شده است. یکی از معایب شبکه‌های عصبی مصنوعی دست نیافن به کمینه مطلق در حین آموزش و گرفتار شدن در کمینه محلی است. از این‌رو آزمایش شبکه جهت اطمینان از صحت روند آموزش امری ضروری است. شبکه توسط ۹ سری داده مورد آموزش قرار گرفت. جهت بررسی پاسخ شبکه برای داده‌های آزمایش شده، بر روی آن‌ها تحلیل رگرسیون انجام گرفت. شکل‌های ۶-الف، ۶-ب و ۶-ج به ترتیب نشان دهنده نتایج تحلیل رگرسیون پاسخ شبکه برای فاصله چال‌ها در یک ردیف، فاصله ردیفی چال‌ها و وزن کل خرج داده‌های آزمایشی عملیات انفجار در معدن

ذرات، بسامد غالب، چگالی ماده منفجره، حجم بلوک استخراجی و فاصله از محل انفجار است. به علت تغییرات کم چگالی سنگ، این پارامتر به منزله ورودی در نظر گرفته نشده است. از طرفی همه انفجارها دارای قطر چال، ارتفاع پله، اضافه حفاری یکسان هستند و تاخیرهای انفجار با توجه به نظر مهندس طراح و شماره چاشنی‌های موجود در انفجار مواد ناریه انتخاب می‌شود. جدول ۲ نشان‌دهنده محدوده تغییرات پارامترهای ورودی و خروجی شبکه است.

شبکه متشكل از ۴ لایه پنهان و لایه خروجی با آرایش $\{10 \times 14 \times 12 \times 1\}$ است. به منظور افزایش کیفیت آموزش، داده‌های ورودی در بازه $[0,1]$ مقیاس شده‌اند. الگوریتم آموزش، الگوریتم لونبرگ-مارکواردت است. این الگوریتم همانند روش شبکه‌نیوتون سعی در افزایش دادن سرعت آموزش بدون محاسبه ماتریس هسیان دارد (MATLAB، ۲۰۰۲). در شکل ۴ نمایی از الگوریتم شبکه آموزش داده شده است.



شکل ۶. تحلیل رگرسیون بر روی پاسخ شبکه برای داده‌های آزمایشی عملیات انفجار در معدن مس سرچشمه کرمان. (الف) رگرسیون فاصله چال‌ها در یک ردیف، (ب) رگرسیون فاصله ردیفی چال‌ها، (ج) رگرسیون وزن کل خرج.

۵ نتیجه‌گیری

طراحی الگوهای انفجار یکی از مهم‌ترین مراحل در طراحی استخراج معادن و فعالیت‌های عمرانی است. طراحی مناسب علاوه بر افزایش کیفیت انفجار، باعث کاهش هزینه‌های ناشی از آن نیز می‌شود. یکی از این هزینه‌های جانبی، خسارات ناشی از لرزش زمین حاصل از انفجار و ایجاد نارضایتی است. در این تحقیق با استفاده از شبکه عصبی مصنوعی، شبکه‌ای بهمنظور تعیین پارامترهای انفجار آموزش داده شد. شبکه توانست به خطای $10 \times 10 / 6$ برای داده‌های آموزشی دست یابد. همچنین شبکه مورد آزمایش قرار گرفت و توانست به ضریب همبستگی 0.82 و 0.76 به ترتیب برای وزن کل خرج، فاصله ردیفی چال‌ها و فاصله چال‌ها در یک ردیف دست یابد. همچنین مقادیر 0.84 و 0.76 به ترتیب برای وزن کل خرج، فاصله ردیفی چال‌ها و فاصله چال‌ها در یک ردیف به دست آمد.

منابع

- امینی، ن. و جواهريان، ع.، ۱۳۸۹، مدل‌سازی انتشار امواج در محیط اکوستیکی دو بعدی به روش تفاضل محدود متناهی در حیطه فرکانس، مجله ژئوفیزیک ایران، ۱(۱)، ۱۶-۱۴.

مس سرچشمه کرمان هستند. همان‌طور که در شکل ۶ مشاهده می‌شود، پاسخ شبکه با داده‌های واقعی همبستگی بالایی دارد و شبکه توانست به ضریب همبستگی 0.82 و 0.76 به ترتیب برای وزن کل خرج، فاصله ردیفی چال‌ها و فاصله چال‌ها در یک ردیف دست یابد.

همان‌طور که از شکل ۶ ملاحظه می‌شود، شبکه قابلیت ارائه برخی از پارامترهای طراحی از جمله فاصله ردیفی چال‌ها را دارد. بقیه پارامترهای طراحی مانند قطر چال، تاخیر زمانی چال‌ها و ... را می‌توان با استفاده از روابط تجربی ارائه شده و برپایه پاسخ شبکه بدست آورد. از طرفی با دردست داشتن فاصله سازه مورد نظر از محل انفجار و میزان لرزش مجاز متناظر با آن سازه می‌توان حداقل خرج بر تاخیر را بدست آورد.

از آنجاییکه تغییرات فاصله ردیفی چال‌ها و فاصله چال‌ها در یک ردیف در این معدن کم است، شبکه برای دو پارامتر مذکور به پاسخ بهتری رسیده است. با توجه به جدول ۳ خطای متوسط نسبی برای این دو پارامتر به ترتیب برابر 0.76% و 0.62% است. مقادیر وزن کل خرج در انفجارهای انجام شده در معدن مس سرچشمه دارای تنوع بیشتری نسبت به دو پارامتر دیگر است، از این‌رو خطای نسبی میانگین به دست آمده برای این پارامتر برابر 0.84% و از دو پارامتر دیگر بیشتر، ولی دارای مقدار قابل قبولی است.

- Najm, K., Javaherian, A. and Bakhshandeh Amnigh, H., 2002, Study of blasting vibrations in Sarcheshmeh copper mine: *Acta Seismologica Sinica*, **15**, 683-690.
- Khandelwal, M. and Singh, T. N., 2007, Evaluation of blast induced ground vibration predictors: *Soil Dynamics and Earthquake Engineering*, **27**, 116-125.
- Khandelwal, M. and Singh, T. N., 2009, Prediction of blast induced ground vibration using artificial neural network: *International Journal of Rock Mechanics and Mining Science*, **46**, 1214-1222.
- Mohammad, M. T., 2009, Artificial neural network for prediction and control of blasting vibrations in Assiut (Egypt) limestone quarry: *International Journal of Rock Mechanics and Mining Science*, **46**, 426-431.
- Singh, P. K. and Roy, M. P., 2010, Damage to surface structures due to blast vibration: *International Journal of Rock Mechanics and Mining Science*, **47**, 949-961.
- The Math Works Inc, 2002, Statistics Toolbox for use with MATLAB, User's Guide Version 4.
- بخشنده امنیه، ح.، ۱۳۷۸، پیش‌بینی اثرات ناشی از انفجار معادن رو باز بر روی سازه‌های سطحی مجاور، پایان نامه کارشناسی ارشد، دانشگاه صنعتی امیرکبیر.
- جواهریان، ع. و بخشندۀ امنیه، ح.، ۱۳۸۱، بررسی روابط تجربی پیش‌بینی حداکثر سرعت ذرات در انفجارهای معدن سنگ آن گل گهر، نشریه علمی پژوهشی فیزیک زمین و فضا، **۲۸**(۱)، ۲۱-۳۰.
- روشندل کاهو، ا. و سیاه‌کوهی، ح.، ۱۳۸۸، تعیین فاکتور کیفیت با تبدیل‌های زمان-مقیاس و زمان-فرکانس، *مجله ژئوفیزیک ایران*, **۳**(۱)، ۱۹-۳۲.
- Bakhshandeh Amnigh, H., Mozdianfar, M. R. and Siamaki, A., 2010, Predicting of blasting vibrations in Sarcheshmeh copper mine by neural network: *Safety Science*, **48**, 319-325.